

بررسی اینتوکسینی و عملکرد استیل ترانسفراز مخمری (*AYT1*) در سرمزدایی مایکوتوكسین دیاکسی نیوالنول در گیاهان توتون تاریخت

سمیرا شهبازی^{۱*}, ناصر صفائی^۲, امیر موسوی^۳, فروغ سنجربان^۴ و عزیزالله علیزاده^۵

۱، گروه پژوهشی کشاورزی هسته‌ای، پژوهشکده تحقیقات کشاورزی، پژوهشکی و صنعتی سازمان انرژی اتمی ایران، کرج

۲، گروه بیماری‌شناسی گیاهی، دانشکده کشاورزی، دانشگاه تربیت مدرس، تهران

۳، دانشیار و استادیار گروه بیوتکنولوژی گیاهی، پژوهشگاه ملی مهندسی‌ژنتیک و زیست‌فناوری، تهران

(تاریخ دریافت: ۹۰/۱۱/۱ - تاریخ تصویب: ۹۰/۱۲/۲)

Immunochemical and Functional Analysis of Yeast Acetyltransferase Gene (*AYT1*) in Detoxification of DON in Transformed Tobacco Plants

S. SHAHBAZI^{1*}, N. SAFAIE², A. MOUSAVI³, F. SANJARIAN³ AND A. ALIZADEH²

1, Agricultural, Medical and Industrial Research School, Nuclear Science and Technology Research Institute, Karaj, 2, Plant Pathology Department, Faculty of Agriculture, Tarbiat Modares University, Tehran, 3, National Institute of Genetic Engineering and Biotechnology, Tehran

(Received: Jan. 21, 2012 - Accepted: Feb. 21, 2012)

Abstract

Fusarium Head Blight (FHB), which is caused commonly by *Fusarium graminearum*, has ability to result significant reduce in yield and also cause indirect losses due to the accumulation of potent mycotoxins (trichothecenes) in harvested grain as secondary metabolites; which are hazardous for human and animal health. Trichothecene mycotoxins (such as deoxynivalenol, DON) are potent protein synthesis inhibitors for eukaryotic organisms. Trans expression of *AYT1* gene from *S. cerevisiae* is capable of trichothecene 3-O-acetylation and converts DON to a less toxic acetylated form. One of the detoxification and resistance to mycotoxins is acetylation. The main goal of this study is to evaluate tolerant of tobacco, transgenic tobacco model plants to DON. In order to detect expression of the *AYT1* transgene, we added *cMyc* tag via PCR-Tagging method and introduced it into tobacco plants through Agrobacterium-mediated transformation in an attempt to detoxify DON. Then integration of *AYT1-cMyc* gene into the tobacco genome confirmed by molecular analyses, Immuno-blotting and serological protein studies and trichothecene acetyl transferase activity analysis confirmed the expression of *AYT1* and tolerance to 10 ppm concentration of DON in transgenic lines was observed.

Keywords: Fusarium head blight, DON, Acetyltransferase, Immunoblotting, ELISA

چکیده

بیماری بلاست فوزاریومی سنبله گندم (*Fusarium Head Blight, Fusarium graminearum*) که به وسیله قارچ قادر است علاوه بر کاهش چشمگیر عملکرد، خسارت غیرمستقیمی را نیز از طریق تجمع مایکوتوكسین‌ها (تریکوتوكسین‌ها) در دانه‌های برداشت شده وارد سازد که محصول را برای تغذیه انسان و دام نامناسب می‌نماید. تریکوتوكسین‌ها (مانند دیاکسی نیوالنول یا DON) ممانعت کنندگان سنتر پروتئین در یوکاریوت‌ها می‌باشند. محصول ژن *AYT1* در مخمر *S. cerevisiae*-O-۳ توانایی استیل‌اسیون تریکوتوكسین‌ها را داراست و می‌تواند DON را به فرم استیل‌های که از سمیت پایین تری برخوردار است تبدیل کند. استیل‌اسیون یکی از مکانیسم‌های سرمزدایی و ایجاد مقاومت به مایکوتوكسین‌هاست، در این مطالعه ژن *AYT1* (استیل ترانس فراز مخمری) با استفاده از آگروباکتریوم به گیاه مدل توتون انتقال داده شد تا امکان ایجاد مقاومت نسبی به این بیماری مورد بررسی قرار گیرد. به منظور سهولت پیگیری بیان تراژن مذکور ابی‌توب *c-Myc* با استفاده از تکنیک PCR-Tagging به آن افزوده شد. پس از آنالیزهای مولکولی و تایید تاریختی، مطالعات اینتوکسینیک با روش‌های لکه‌گذاری و الیزا بر روی لاین‌های تاریختی برای بررسی بیان *AYT1-cMyc* انجام شد. علاوه بر آن فعالیت استیل ترانسفرازی تراژن مذکور بر روی DON با تکیک کروماتوگرافی لایه نازک مشاهده شد. گیاهان تاریخت تحمل نسبی به غلظت ۱۰ ppm مایکوتوكسین در ارزیابی‌های درون‌شیشه‌ای نشان دادند.

واژه‌های کلیدی: بلاست فوزاریومی سنبله گندم، دیاکسی نیوالنول، استیل ترانسفراز، اینتوکسین، الیزای غیرمستقیم

(Kimura *et al.* 1998) و گزارشاتی نیز مبنی بر تشید تحمل به DAS^۱ (یکی دیگر از تریکوتین‌ها) در توتون‌های تاریخت با ژن *Tri101* وجود دارد (Muhitch *et al.* 2000). بیان تراژن *Tri101* در ۴۰ ug/ml DON گیاه برنج سبب بروز مقاومت به (Ohsato *et al.* 2007) و اسپورپاشی سنبله‌های برنج نسل سوم تاریخت با *Tri101* با اسپورهای قارچ *F. graminearum* نیز سطوحی از مقاومت را در (Kimura *et al.* 2006) بررسی‌های گلخانه‌ای نشان دادند. نسخه‌ای از استیل ترانسفراز بر روی *Saccharomyces* کروموزوم شماره ۷ مخمر (ORF-Y1106Bc) *cerevisiae* شناسایی شده که AYTI نامگذاری شده است و محصول آن از لحاظ ساختمانی و عملکردی شبیه به TRI101 است (Alexander *et al.* 2002). نتایج تحقیقات انجام یافته در بررسی عملکرد AYTI نشان داده است که این ژن در افزایش مقاومت مخمر در برابر تریکوتین‌ها نقش دارد (Alexander *et al.* 2002).

از آن جایی که بررسی عملکرد این ژن در گیاه و بیان پروتئینی آن کمتر مورد توجه قرار گرفته است و بررسی‌های ایمنولوژیک نیز با دشواری‌هایی روبروست، در این مطالعه، اپی‌توب *cMyc*^۲ به ژن PCR-استیل ترانسفراز (AYTI) با استفاده از Tagging تراژن با سازه‌زنی AYTI-*cMyc* با استفاده از آنتی‌بادی علیه اپی‌توب *cMyc* بررسی شود. تحمل از نسبی مشاهده شده در گیاهان تاریخت به مایکوتوكسین DON در ارزیابی‌های درون‌شیشه‌ای، به فعالیت استیل ترانسفرازی تراژن AYTI-*cMyc* بر روی DON در عصاره به دست آمده از این گیاهان نسبت داده شد.

4. 4,15-diacetoxyscirpenol
5. EQKLISEEDL با توالی دهتایی

مقدمه

مایکوتوكسین داکسی نیوالنو^۱ که به وسیله *Fusarium graminearum* عامل بیماری بلاست فوزاریومی خوشه گندم^۲ تولید می‌شود، از دسته تریکوتین^۳ هاست (Bai *et al.* 2002) که مصرف دانه‌های آلوده با آن آثار نامطلوبی بر سلامتی انسان و حیوانات بر جای می‌گذارد (Chen *et al.* 2000). DON یک ممانعت‌کننده سنتز پروتئین در یوکاریوت‌هاست که در مراحل بیماری‌زایی قارچ با ایجاد اختلال و یا به تأخیر انداختن بیان پروتئین‌های مرتبط با مقاومت در گیاه باعث تشید بیماری می‌شود (Eudes *et al.* 2000). فرم‌های شیمیابی مختلف یک مولکول تریکوتینی (مانند DON و 3A-DON^۴) سمیت متفاوتی بر روی سلول‌های گیاهی دارند. نتایج مطالعات انجام‌شده نشان داده است که استیلاسیون گروه هیدروکسیل C3 تریکوتین‌ها از سمیت آن‌ها به میزان قابل توجهی می‌کاهد (Kimura *et al.* 1998). لذا، این تئوری قوت گرفت که از طریق تبدیل DON به ترکیب کمتر سمی 3A-DON می‌توان مقاومت گیاهان به DON و به دنبال آن تحمل به بیماری FHB را در غلات افزایش داد. یکی از ژن‌های ضروری در بیوسنتز تریکوتین‌ها، ژن *Tri101* است که از جمله مکانیسم‌های خود ایمنی قارچ *F. graminearum* نیز می‌باشد و از طریق استیله کردن مایکوتوكسین‌های تریکوتینی به ترکیباتی با درجه سمیت پایین‌تر، از قارچ در برابر توکسین‌های خودش محافظت می‌نماید (Manoharan *et al.* 2006). *Schizosaccharomyces pombe* تراژن *Tri101* تحمل به سطوح مختلف T2 توکسین (از دسته تریکوتین‌ها) را بروز دادند.

-
1. (DON) Deoxynivalenol
 2. Fusarium haed blight(FHB)
 3. Trichothecene

Expand DNA با استفاده از ۰/۵ unit آنزیم RV polymerase (Roche, Manheim, Germany) و دمای اتصال ۴۷°C (۶۰ ثانیه و ۱۰ چرخه) مگاپرایمر را تکثیر کردند که شامل انتهای ژن و کل توالی اپی‌توب می‌شد. سپس با جفت آغازگرهای AYT1Fw و محصول PCR مرحله قبل (مگا پرایمر) و ژن AYT1 همسانه‌سازی شده در pSK به عنوان الگو، سازه ژنی AYT1-cMyc به دست آمد. در شرایط دمایی و زمانی شامل دمای واسرشت‌شدن ۹۳°C (۶۰ ثانیه)، دمای اتصال C ۴۷°C (۶۰ ثانیه)، دمای طویل‌شدن ۷۲°C (۶۰ ثانیه)، با ۲۰ چرخه تکرار و مرحله طویل‌شدن نهایی ۷۲°C (ده دقیقه) بود. برای بالابردن تعداد نسخه‌های تکثیرشده یک واکنش PCR نهایی با ۰/۵ μM آغازگرهای انتهایی AYT1ATG1 و MYC-RV و AYT1RV با همان شرایط دمایی و زمانی و این بار با ۳۰ چرخه بر روی محصول مرحله دوم PCR تکرار گردید. سپس سازه ژنی AYT1-cMyc در ناقل پلاسمیدی pBluescript SK (Stratagen) و به سلول‌های مستعد DH5α E. coli انتقال داده شد. توالی‌یابی قطعه همسانه‌سازی شده توسط MWG -Biotech (Ebersburg, Germany) انجام گرفت. صحت توالی قطعه AYT1-cMyc همسانه‌سازی شده با مقایسه با توالی ژن AYT1 موجود در بانک ژن تایید شد. هم‌ردهی توالی‌ها (نوکوتیدی و آمینواسیدی) با BLASTn Ver. 2.2.10 [Oct-19-2004] موجود در بانک ژن NCBI انجام شد.

مواد و روش‌ها

همسانه‌سازی ژن AYT1

پس از استخراج DNA ژنومی مخمر [از کلنی منفرد حاصل از کشت مایه خمیر (ایران مایه، تهران، ایران) بر روی محیط YPD] با روش Hoffman (1987) and Winston با انجام واکنش PCR بر روی ۵۰ ng از DNA ژنومی AYT1Fw به عنوان رشته الگو و جفت آغازگرهای AYT1Re (طرahi‌شده با استفاده از توالی ژن AYT1 موجود در بانک ژن NCBI با شماره دسترسی NC-001144، جدول ۱) و ۱ از (Roche, Manheim, Germany) آنزیم Expand DNA polymerase تکثیر گردید. شرایط دمایی واکنش شامل، دمای واسرشت‌شدن ۹۳°C (۶۰ ثانیه)، دمای اتصال C ۴۷°C (۶۰ ثانیه)، دمای طویل‌شدن ۷۲°C (۶۰ ثانیه) بود که برای ۳۰ چرخه تکرار و مرحله طویل‌شدن نهایی ۷۲°C به مدت ده دقیقه بود. محصولات PCR در ناقل pBluescript SK (Stratagen) همسانه‌سازی شدند تا در مرحله افزودن اپی‌توب به عنوان الگو مورد استفاده قرار گیرند.

افزودن اپی‌توب به ژن AYT1 با استفاده از PCR Tagging

واکنش PCR به منظور افزودن اپی‌توب، طی سه مرحله و با طراحی آغازگر (انتهای ۳' ژن AYT1 بدون کدون پایان و ابتدای AYT1MYC-FW) و آغازگر برگشتی (انتهای اپی‌توب) و آغازگر برگشتی MYC-RV (انتهای اپی‌توب) که در جدول ۱ نشان داده شده‌اند، انجام پذیرفت. در مرحله اول ۰/۵ μM MYC- AYT1MYC-FW و AYT1-Fw یک از آغازگرهای

جدول ۱- توالی آغازگرهای به کار گرفته شده در همسانه‌سازی سازه ژنی AYT1-cMyc

| | |
|-------------------|---|
| AYT1-Fw | 5'-ATCGAATTCTGAAGGTAGATGGATGTTAGAG-3' |
| AYT1-Re | 5'-TAGTCGACATATCATCATCCTATATGTGTAG-3' |
| AYT1MYC-FW | 5'-TATGGACGCCTGAAGGCTAACAAAAGCTTATTTCTGAA-3 |
| MYC-RV | 5'-TTGAGCTCAAAGATCTCTCAGAAATAAGCTTTGTTC-3 |

سانتی گراد نگهداری شدند. آبیاری هر ۴۸ ساعت یکبار با محیط مایع MS/2MS انجام و پس از یک هفته سرپوش‌ها به تدریج سوراخ دار شدند تا انطباق با شرایط گلخانه به طور کامل انجام پذیرد. این گیاهان تا مرحله بذردهی نگهداری شدند. گیاهان توتون pBI121 تراویخت با آگروباکتریوم حاوی پلاسمید pBI121 دارای ژن گزارشگر GUS نیز با همین روش بازیابی گیاهان تراویخت حاصله به عنوان کنترل منفی در نظر گرفته شد. بذرهای حاصل خودلقاحی نسل T0 جمع‌آوری گردیده و برای ارزیابی مقاومت به توکسین استفاده گردیدند.

جدول ۲- ترکیب محیط‌های کشت مورد استفاده در

تراویختی گیاهان توتون

| Components | CoC | SIM | SEM | RIM |
|-------------|-----|-----|-----|------|
| MS Salt | 1X | 1X | 1X | 1/2X |
| Agar (gl/L) | 7 | 7 | 7 | 7 |
| Sucrose | 3% | 3% | 3% | 3% |
| BAP(mgl/L) | 0 | 1 | 1 | 0 |
| NAA(mg/L) | 0.1 | 0.1 | 0.1 | 1 |
| Kanamycin | 0 | 100 | 100 | 100 |
| Cefotaxim | 0 | 500 | 500 | 200 |
| pH | 5.5 | 6 | 5.7 | 5.7 |

آنالیز مولکولی گیاهان تراویخت

برای این منظور ابتدا DNAی ژنومی، از برگ‌های جوان و سبز گیاهان توتون تراویخت استخراج گردید (Bai and Shaner, 2004) و سپس با استفاده از آغازگر AYT1-ATG1 و MYC-RV و شرایط مشابه با شرایط تکثیر ژن AYT1، انتقال تراژن به لاین‌های بازیابی شده مورد بررسی قرار گرفت. برای اثبات نسخه‌برداری از تراژن RNA-PlusTM AYT1، ابتدا RNA کل با کیت cDNA (Cinna Gen, Iran) استخراج و سپس (Cinna Gen, Iran) ساخته شد. از آغازگرهای AYT1-ATG1 و MYC-RV جهت تکثیر cDNA مربوطه با همان شرایط واکنش تکثیر ژن AYT1 استفاده شد. این دو آغازگر قطعه‌ای معادل ۱/۴ kb را تکثیر می‌نمایند.

تراویختی گیاهان توتون با سازه‌زنی AYT1-cMyc

قطعه AYT1-cMyc با دو آنزیم محدودگر BamHI, SacI از ناقل همسانه‌سازی خارج (شکل ۱) pBI121 (CLONTECH) و در ناقل دوگانه (BamHI, SacI) همسانه‌سازی گردید؛ سپس با روش انجماد و ذوب به باکتری *Agrobacterium tumefaciens* سویه LBA4404 انتقال داده شد. برای تراویختی گیاه توتون (*Nicotiana tabacum* cv. Xanthi) از برگ‌های جوان و بالغ، قطعات ۲۰ تا ۲۵ میلی‌متری بریده و به مدت ۱ دقیقه در سوسپانسیون سلولی باکتری تراویخت حاوی ساختار موردنظر غوطه‌ور شدند. سپس مرحله هم‌کشتی به مدت دو روز در تاریکی و دمای ۲۵°C در محیط هم‌کشتی (CoC) سپری شد (جدول ۲). پس از این مرحله، ریزنمونه‌ها پس از شستشو با آنتی‌بیوتیک سفوتاکسیم با غلظت ۵۰۰ mg/L شدند تا شاخه‌های سبز مقاوم به کاناماکسین رشد و تمايز یابند. آنتی‌بیوتیک سفوتاکسیم با غلظت ۵۰۰ mg/L برای مهار رشد آگروباکتریوم به کار گرفته شد. پس از رشد مناسب، شاخه‌ها جدا گردیدند و به محیط طویل‌شدن شاخه (SEM) منتقل شدند. پس از ۱۴ روز شاخه‌های سبز به محیط القاء ریشه‌زایی (RIM) واکشت شدند. گیاهچه‌های تراویخت شده‌ای که در محیط ریشه‌زایی به اندازه کافی رشد یافته بودند پس از شستشوی کامل ریشه‌ها با جریان ملایم آب به نحوی که محیط کشت از ریشه‌ها به طور کامل زدوده شده باشد به گلدان‌های پلاستیکی استریل (قطر ۹ سانتی‌متر) حاوی خاک (نسبت ۱:۱:۱) از پرلیت، پیت و ورمیکولیت) اتوکلاو شده منتقل شدند و با سرپوش‌های شفاف پلاستیکی (برای حفظ رطوبت گیاهان و گذر از مرحله انطباق با محیط گلخانه) پوشانده شدند و در اتاقک رشد با ۱۶ ساعت روشنایی و ۸ ساعت تاریکی در دمای ۲۵ درجه

کربنات سدیم، ۸/۴ گرم بی کربنات سدیم و ۰/۲ گرم سدیم آزاد در یک لیتر آب مقطر، pH=۹-۶ (pH=۹-۶) مخلوط کرده و به مدت یک شب در دمای ۴°C در پلیت الیزا پوشش داده شد. آنتی بادی اولیه را به نسبت ۱/۵۰۰ با بافر توئین/کازئین X (pH=۸) رقیق کرده و ۵۰ میکرولیتر از محلول حاصل به هر چاهک افزوده شد. پلیت به مدت دو ساعت در ۳۷°C نگهداری و سپس با بافر توئین/کازئین X ۱ سه مرتبه شستشو گردید. آنتی بادی ثانویه را در سه رقت ۱/۵۰۰، ۱/۱۰۰۰ و ۱/۲۰۰۰ با بافر توئین/کازئین X ۱ تهیه نموده و ۵۰ میکرولیتر از آن به هر چاهک افزوده شد و به مدت ۱ تا ۲ ساعت در دمای ۳۷°C نگهداری گردید. پس از سه بار شستشو با بافر توئین/کازئین X ۱ با افزودن سوبسترا (Dak, Cytomation) OPD ۳ دارای آنزیم پراکسیداز به چاهکها آشکارسازی انجام و جذب نور در طول موج ۴۹۹ نانومتر و ده دقیقه پس از افزودن سوبسترا ثبت گردید.

بررسی فعالیت آنزیم استیل ترانسفراز تراژن AYTI-cMyc با استفاده از کروماتوگرافی لایه نازک

برای حصول اطمینان از فعالیت آنزیمی محصول تراژن AYTI-c-myc براساس روش Ohsato *et al.* (2007) ابتدا پروتئین کل از هفت لاین گیاه تراریخت استخراج شده و سپس با استفاده از سیستم کروماتوگرافی لایه نازک (Ridel-de Haen™, Germany) فعالیت استیله کردن پروتئین تراژن مورد بررسی قرار گرفت. گیاهان غیرتراریخت به عنوان کنترل منفی آزمایش مورد استفاده قرار گرفتند. محلول اتیل استات/ تولوئن (۱/۳) به عنوان فاز متحرک استفاده شد.

-
2. O- Phenyl enediamine di hydrochloride
 3. Thin Layer Chromatography (TLC)

بررسی ایمنولوژیک پروتئین AYTI-cMyc با استفاده از روش لکه‌گذاری
غشاء (Roche, Germany) PVDF پس از این که به مدت ۳۰ ثانیه در متانول و ۳۰ ثانیه در TBS شامل (NaCl ۹٪، Tris pH = ۷-۹ ۱۰۰ mM) قرار داده شد، در کاست دستگاه نقطه‌گذار^۱ قرار گرفته و معادل ۵ میلی‌گرم از نمونه‌های پروتئین کل استخراج شده از گیاهان تراریخت و غیرتراریخت (به عنوان کنترل منفی) که با روش Ohsato *et al.* (2007) استخراج پروتئین شده بود، در هر چاهک ریخته و با هوایگیری بر روی غشاء تشییت شد. این غشاء به مدت دو ساعت در محلول آنتی بادی cMyc با رقت ۱/۵۰۰ و ۰/۳ گرم Skim Milk و ۶ ml محلول TBS روی شیکر با سرعت ۷۰ دور در دقیقه قرار گرفت و سپس سه مرتبه و هر بار به مدت پنج دقیقه با محلول TTBS شامل TWEEN ۶ ml شستشو گردید. غشاء سپس در ۱/۱ محلول TBS و آنتی بادی ثانویه با رقت ۱/۱۰۰۰ به مدت دو ساعت بر روی شیکر قرار گرفت. شستشوی مجدد سه مرتبه و هر بار به مدت پنج دقیقه با محلول TTBS انجام شد. در پایان در محلول سوبسترا (شامل ۱۰ µl آب اکسیژنه، ۱۰ ml TBS و ۱ ml کلرونفتول) بر روی شیکر قرار داده تا شد تا مرحله آشکارسازی به کمک کیت (BIORAD, Germany) انجام پذیرد. پس از ۱۰-۵ دقیقه لکه‌های بنفش رنگ ظاهر شدند که برای تثبیت آن‌ها، غشاء در داخل آب مقطر قرار گرفت.

بررسی ایمنولوژیک پروتئین AYTI-cMyc با استفاده از آزمون الیزا

ابتدا ۳۰ میکرولیتر (معادل ۵ میلی‌گرم) از پروتئین کل استخراج شده از برگ‌های گیاهان تراریخت و غیرتراریخت (به عنوان کنترل منفی) را با ۸۰ میکرولیتر بافر پوشش‌دهنده (شامل ۱۰/۶ گرم

-
1. Blotter

گیاهان غیرتاریخت و گیاهان تاریخت دارای GUS پلاسمید pBI121 واحد ژن گارشگر به عنوان کنترل منفی استفاده شد.

نتایج

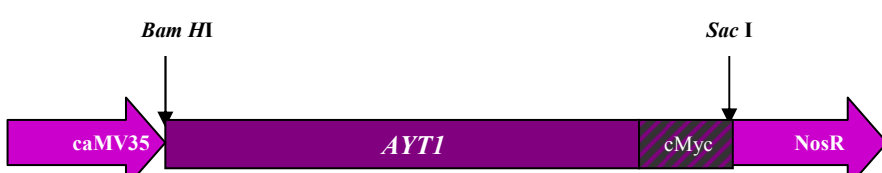
همسانه‌سازی سازه‌زنی

AYT1-cMyc

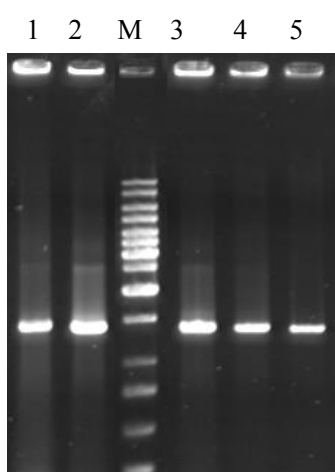
محصول PCR از DNA ژنومی مخمر با جفت آغازگرهای AYT1Fw و AYT1Re تکثیر ژن AYT1 به صورت باند منفرد و در اندازه مورد انتظار (۱/۴Kb) بود که بر روی ژل الکتروforeز ظاهر شد (شکل ۲). محصولات PCR Tagging مرحله دوم و سوم نیز باند منفرد موردنانتظار (۱/۴Kb) را نشان دادند که البته شدت باند مرحله سوم بیشتر بوده که ناشی از بالارفتن تعداد نسخه‌های همانندسازی شده از رشته الگو حاصل از مرحله دوم با استفاده از آغازگرهای AYT1ATG1 و MYC-RV بود (شکل ۲). صحبت توالی قطعه همسانه‌سازی شده پس از هم‌ردیفی با توالی موجود در بانک ژن مورد تایید قرار گرفت (شکل ۳).

بررسی مقاومت دانه‌رست‌های گیاهان تاریخت به توکسین DON

بذرهای گیاهان تاریخت با هیپوکلریت سدیم ۱٪ خدغونی و بر روی مش (با قطر منفذ ۱/۱۰ میلی‌متر) در محیط MS کشت شدند. گیاهچه‌ها پس از رسیدن به مرحله دوبرگی به محیط 3A-DON ۵ ppm توکسین DON و یا 3A-DON ۱۰ ppm درون ارلن مایرهاي ۲۵۰ میلی‌لیتری منتقل شدند و به مدت یک هفته در شرایط نوری ۱۶ ساعت روشنایی و ۸ ساعت تاریکی بر روی شیکر (۱۲۰rpm) قرار داده شدند. در این مرحله، دانه‌رست‌ها به شرایط حضور توکسین سازگاری پیدا می‌کنند. پس از یک هفته دانه‌رست‌ها به محیط 3A-DON ۱۰ ppm و یا 3A-DON ۱۰ ppm منتقل شدند. پس از سه هفته، گیاهان تاریخت و غیرتاریخت از نظر میزان رشد (طول شاخه و ریشه) و وزن خشک و تر مورد اندازه‌گیری قرار گرفته و آنالیزهای آماری با نرم‌افزار MSTAT-C Ver.1.42 و مقایسه میانگین‌ها با آزمون LSD انجام شد.



شکل ۱- طرح شماتیک سازه‌زنی *AYT1-cMyc* همسانه‌سازی شده در ناقل pBI121



شکل ۲- افزودن اپی‌توپ به ژن *AYT1* با استفاده از PCR -Tagging

(۱) محصول تکثیر ژن *AYT1* از ژنوم مخمری

(۲) محصول تکثیر ژن *AYT1* از وکتور نوترکیب

(M) نشانگر (Fermentas) 1Kb Ladder (Fermentas)

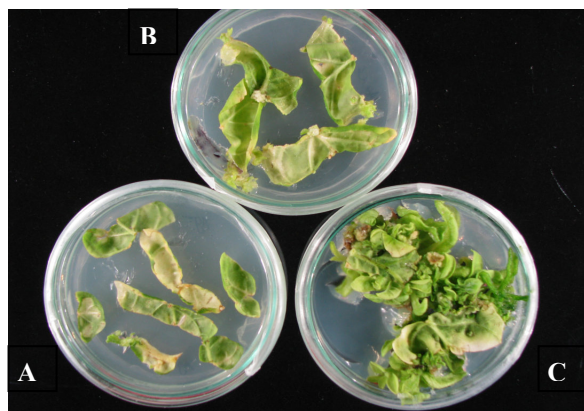
(۳) PCR -Tagging محصول مرحله سوم *AYT1-c-myc*

(۴) PCR -Tagging محصول مرحله دوم *AYT1-c-myc*

(۵) pBluescript SK از وکتور نوترکیب *AYT1-c-myc*

| | | |
|-----------|--|----------------------------|
| AYT1 | :MFRVKIISQKRTKSVQMLENDQLDILGQQPSLYKLYTQICSIYRVPDPSAHDHIVNTLTRGLETIAKNFO | :84 |
| AYT1cMyc: | | :84 |
| AYT1 | :WLAGNVVNEGADEGNTGTYRIVPSDKIPLIVQDLREDLSAPMTDSLEKADFP IYMLDEKTFAPCMtinpp | :168 |
| AYT1cMyc: | | :168 |
| AYT1 | :GNTIGMAAKSGPVFAVQANFISGGVLVTIVGQHNIMDTGQESIINLLNKSCHQKPFsDEELLIGNIDKS | :252 |
| AYT1cMyc: | | :252 |
| AYT1 | :KSIPLFDETWEPTTLVHEIVETSRNTSGEEKEQSCSSNSTWAYVEFSAISLQNLRLAMQTCTSGT | :336 |
| AYT1cMyc: | | :336 |
| AYT1 | :STDDIVTAIFIWKSVSRARLSRLKPETKSNLGRAVDVRKRLGLPETYPGLVNMTFNTGSLKSLDHKSL | :420 |
| AYT1cMyc: | | :420 |
| AYT1 | :LASQIRRKLDPKVFDLAYNTCALATLLSRCPDKTKVSIPQPIDTLSGIMVSSWAKVSLYDVDFNLGLG | :504 |
| AYT1cMyc: | | :504 |
| AYT1 | :KSVRRPRFISLESLIYFMPRSSRGEMVALCLRDKDWECLNADKEWTNYATHIG | : 588 |
| AYT1cMyc: | | EQ KLI SEE DL : 588 |

شکل ۳- هم‌رديفي اسيدهای آمينه پروتئين AYT1CMYC با توالی موجود در بانکژن که نشان‌دهنده عدم‌تغيير در توالی و افرودهشدن اپی‌توب به پروتئين موردنظر می‌باشد.



شکل ۴- مراحل تراریختی توتون با سازه‌زنی AYT1-cMyc: (A) تلقیح ریزنمونه‌ها با آگروباکتریوم و قراردادن در محیط هم‌کشتی (CoC)، (B) باززایی گیاهچه‌های تراریخت در محیط القاء شاخه‌زایی (SIM)، (C) تشکیل گیاهچه سبز بر روی محیط انتخابی طویل شدن شاخه (SEM).

حذف شد که به نوبه خود از بروز تنوع سوماکلونالی در اثر باززایی از کالوس جلوگیری به عمل می‌آورد.

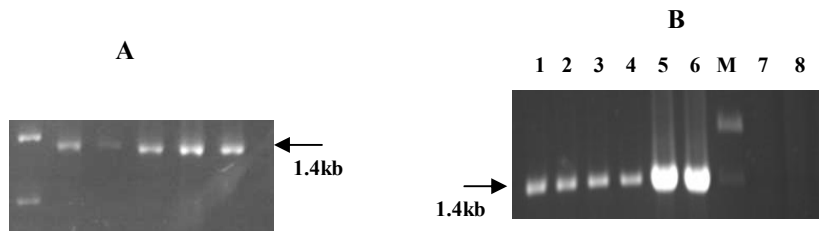
آنالیز مولکولی گیاهان تراریخت
نتایج PCR بر روی DNA ژنومی استخراج شده از گیاهان تراریخت که بر روی محیط حاوی کانامایسین رشد یافته بودند، با دو آغازگر MYC-RV و AYT1ATG1 معادل ۱/۴kb pBI121 ندادند. با استفاده از روش باززایی مستقیم که در این مطالعه حاوی ساختار ژنی AYT1-cMyc مشاهده شد که

تراریختی گیاهان توتون با سازه‌زنی AYT1-cMyc

پس از طی مراحل باززایی ۳۵ لاین توتون تراریخت با سازه‌زنی AYT1-cMyc به دست آمد که از نظر موافلوزیکی تفاوتی با لاین‌های تراریخت شده با ناقل دارای ژن گزارشگر GUS و گیاهان غیرتراریخت از خود نشان ندادند (شکل ۴). همچنین با استفاده از روش باززایی مستقیم که در این مطالعه از آن استفاده شد، مرحله کالوس‌زایی به طور کامل

تلفیق تراژن در آن‌ها اثبات شده بود، cDNA مربوطه ساخته شد و در نهایت قطعه‌ای با همان اندازه ۱/۴kb با استفاده از دو آغازگر AYT1FW و MYC-RV در لاین‌های تاریخت حاصل تکثیر شد (شکل ۵) که نشان‌دهنده نسخه‌برداری کامل از تراژن مذکور در گیاهان تاریخت حاصله است.

نشان‌دهنده آن است که همگی آن‌ها دارای تراژن موردنظر می‌باشند (شکل ۵). در عین حال، انجام PCR بر روی DNA ژنومی استخراج شده از گیاهان غیرتاریخت و گیاهان تاریخت با پلاسمید pBI121 دارای ژن گزارشگر GUS هیچ‌گونه باندی را با دو آغازگر مزبور نشان نداد. پس از استخراج RNA کل استخراج شده از ۲۰ لاینی که



شکل ۵- آنالیز مولکولی لاین‌های تاریخت با (A)، کنترل مثبت (pBluescript AYT1-cMyc)؛ ۲، کنترل مثبت (RT-PCR (B)، ۱Kb Ladder (Fermentas)؛ ۳-۸، گیاهان تاریخت با (گیاه غیرتاریخت)؛ ۹، کنترل منفی (گیاه غیرتاریخت)؛ M، نشانگر RT-PCR برای تایید نسخه‌برداری تراژن AYT1-cMyc؛ ۱، کنترل مثبت AYT1-cMyc (pBI121 در AYT1-cMyc)؛ ۷، کنترل منفی (گیاه غیرتاریخت)؛ ۸، کنترل منفی (گیاه غیرتاریخت)؛ ۶-۲، گیاهان تاریخت با (گیاه غیرتاریخت)؛ ۱، کنترل منفی (گیاه غیرتاریخت)؛ ۱، Kb Ladder (Fermentas) و M، نشانگر RT-PCR (Reverse transcriptase) بدون RT-PCR)

استخراج شده از لاین‌های تاریخت بر روی توکسین DON، فعالیت استیل ترانسفرازی از خود نشان داده و لکه‌های مربوط به حضور 3A-DON در آزمون TLC مشاهده گردید (شکل ۹).

بررسی مقاومت دانه‌رسانی گیاهان تاریخت به توکسین DON
شاخص‌های طول گیاهچه و ریشه و وزن تر و خشک سی دانه‌رسانی به دست آمده از بذور حاصل از خود تلقیحی لاین‌های تاریخت در محیط MS مایع 3A-DON ۱۰ ppm توکسین DON و یا ۳A-DON پس از سه هفته یادداشت‌برداری شد. آنالیزهای آماری نشان داد که اثر وجود توکسین در محیط کشت و ژنتیک گیاه (تاریخت و غیرتاریخت) و همچنین اثر متقابل آن‌ها در سطح ۱٪ برای تمام شاخص‌ها معنی‌دار بوده است که نشان‌دهنده رشد طبیعی گیاهان تاریخت در حضور توکسین در مقایسه با

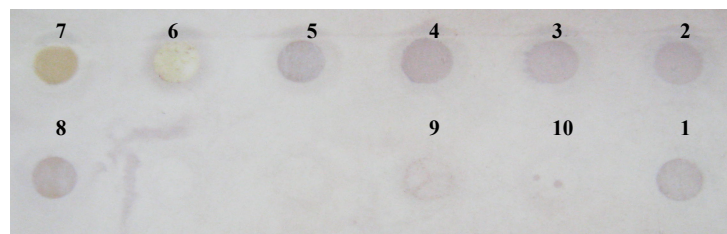
بررسی ایمنولوژیک بیان تراژن در گیاهان تاریخت با استفاده از روش لکه‌گذاری و آزمون الیزا

بیان تراژن AYT1-cMyc با هر دو آزمون ایمنولوژیک لکه‌گذاری پروتئینی و الیزا به اثبات رسید. در پنج لاین توتون تاریخت، لکه‌های مربوط به بیان تراژن موردنظر بر روی غشاء مشاهده شد، درحالی که گیاه غیرتاریخت قادر این لکه بود (شکل ۷). نتایج مشابهی نیز از بیان تراژن در آزمون الیزا به دست آمد. به طوری که، میزان جذب نوری در چاهک‌های حاوی پروتئین لاین‌های تاریخت حتی در رقت ۱/۲۰۰۰ آنتی‌بادی ثانویه به صورت معنی‌داری بالاتر از چاهک‌های کنترل بود (شکل ۸).

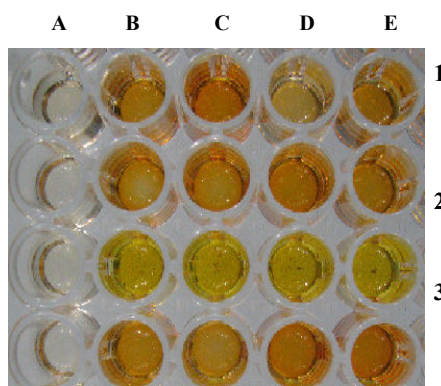
بررسی فعالیت آنزیم استیل ترانسفراز تراژن AYT1-cMyc
محصول تراژن AYT1-cMyc موجود در پروتئین

شاهد ممانعت به عمل آورده است در حالی که تأثیر 3A-DON از آن کمتر بوده است (شکل ۱۰).

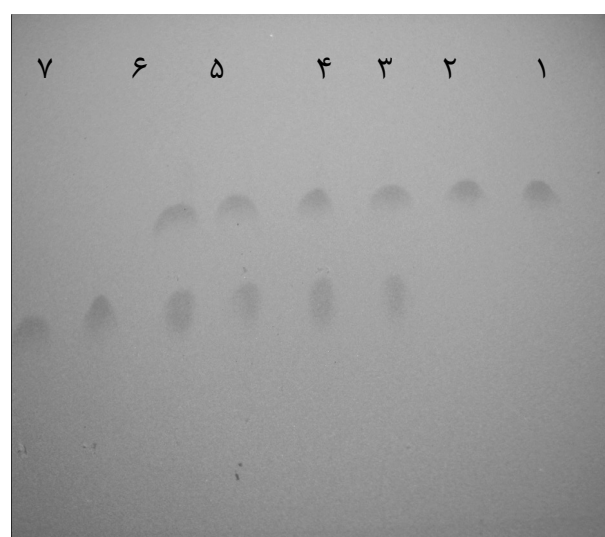
گیاهان غیرتاریخت (شاهد) می‌باشد. همچنین وجود توکسین DON به طور معنی‌داری از رشد گیاهان



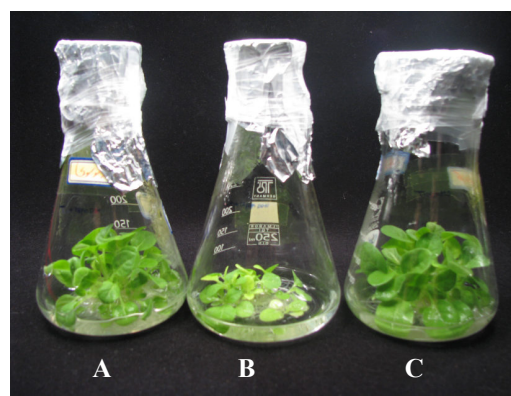
شکل ۶- ردیابی بیان تراژن *AYT1-cMyc* با استفاده از آزمون لکه‌گذاری؛ ۱- ۶، لاین‌های تاریخت T8، T6، T4، T2، آنتی‌بادی؛ ۷، گیاه غیرتاریخت (شاهد)؛ ۸، آنتی‌بادی؛ ۹، آب مقطر؛ ۱۰، کنترل مثبت T11 و T14.



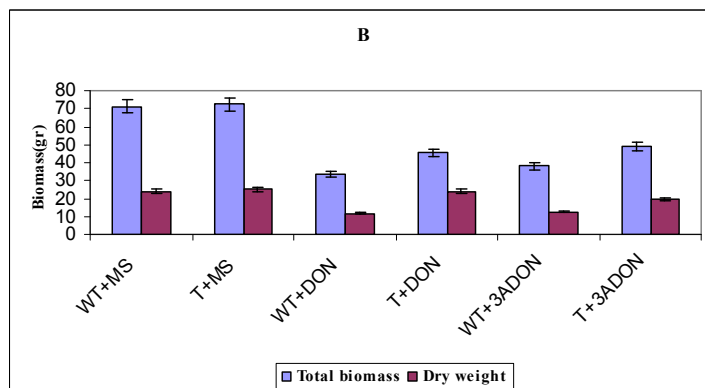
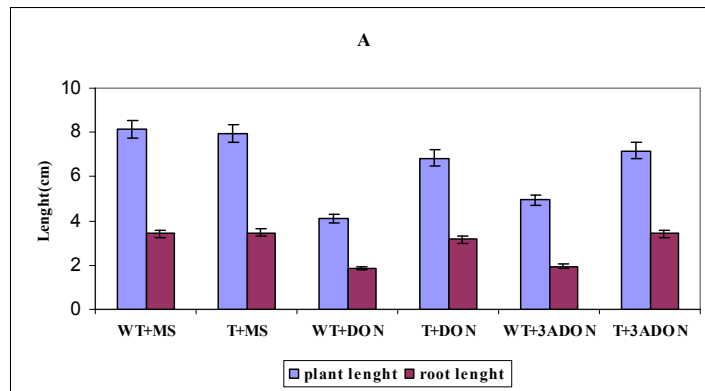
شکل ۷- بررسی میزان بیان تراژن *AYT1-cMyc* با استفاده از آزمون الیز؛ A، گیاه غیرتاریخت (کنترل منفی)؛ B-E لاین‌های تاریخت T2، T4، T6 و T8 با سه رقت آنتی‌بادی ثانویه (1:1/500، 2: 1/1000، 3: 1/2000)، ۴، پروتئین دارای ابی‌توب (کنترل مثبت)



شکل ۸- فعالیت استیل ترانسفرازی پروتئین *AYT1-CMYC* در گیاهان تاریخت با DON خالص (مارکر)؛ ۲، گیاه غیرتاریخت + DON (کنترل منفی)؛ ۳- ۶، گیاه تاریخت + DON؛ ۷، گیاه غیرتاریخت + 3A-DON + (مارکر)؛ ۸، 3A-DON خالص (مارکر)



شکل ۹- بررسی میزان تحمل دانه‌رست‌های تراریخت (*AYT1-cMyc*) به توکسین؛ A، گیاهان تراریخت (*AYT1-cMyc*) در حضور DON_{۱۰} ppm؛ B، گیاهان غیرتراریخت در حضور DON_{۱۰} ppm؛ C، گیاهان تراریخت (*AYT1-cMyc*) در محیط MS فاقد توکسین



شکل ۱۰- گروه‌بندی تأثیر توکسین DON و 3A-DON بر شاخص‌های رشد اندازه‌گیری شده در گیاهان تراریخت با مقایسه رشد طولی و ریشه؛ A، مقایسه وزن تر و خشک گیاهان شاهد (WT) و گیاهان *AYT1-cMyc*

دستورزی ژنتیکی به منظور انتقال ژن‌های مقاومت از منابع گوناگون (از جمله پاتوژن)، به گیاه میزان یکی از راهکارهای دستیابی به ارقام مقاوم در این بیماری به شمار می‌رود. از جمله ژن‌های منتخب برای مقابله با FHB که برای تشدید مقاومت از طریق

بحث

با توجه به محدودیت‌های روش‌های مدیریت کنترل بیماری FHB و عدم معرفی ارقامی که سطح قابل قبولی از مقاومت به این بیماری را دارا باشند (Bai and Shaner. 2004)

آنتی بادی، مطالعه چندین پروتئین با استفاده از یک اپی توب و عدم تغییر در ساختار و عملکرد پروتئین در اثر افزودن اپی توب، امروزه مورد توجه محققان واقع شده است.

آنالیزهای مولکولی انجام شده با استفاده از PCR ژنومی و RT-PCR نشان دادند که از تعداد ۳۵ لاین بازیابی شده پس از تاریختی با آگروباکتریوم، تراژن به ۲۰ لاین با موفقیت انتقال داده شده و نسخه برداری از آن نیز به طور کامل صورت گرفته است. آزمون های الیزای غیر مستقیم و ایمنو بلاتینگ نیز ثابت نمودند که بیان تراژن در گیاهان تاریخت با استفاده از آنتی بادی *cMyc* قابل ریابی است. برای AYT1- بررسی فعالیت استیل ترانسفرازی پروتئین CMYC، محصولات انکوباسیون DON و پروتئین استخراج شده از پنج گیاه تاریخت با استفاده از روش کروماتوگرافی لایه نازک و در مقایسه با ترکیبات استاندارد DON و 3A-DON تفکیک شدند و حضور 3A-DON در همه آن ها مشاهده شد. هر چند این استیله شدن همراه با حضور لکه های مربوط به DON در همه لاین های تاریخت بود، ولی چنین واکنشی در عصاره استخراج شده از گیاه غیر تاریخت دیده نشد. بنابراین می توان وجود فعالیت استیل ترانسفرازی در گیاهان تاریخت را در ارتباط با بیان تراژن *AYT1-cMyc* دانست. همچنین عدم وجود لکه DON در واکنش پروتئین استخراج شده از گیاه غیر تاریخت بر روی 3A-DON بر ناجیز بودن واکنش داستیله شدن در گیاه دلالت می کند.

DON با ممانعت از فرآیند ترجمه در سلول های یوکاریوتی و با به تأخیر انداختن بیان پروتئین های مرتبط با مقاومت در آن ها، به همراه سایر *F. tricoton* های در افزایش قدرت تهاجمی (*Eudes graminearum* بر میزبان خود نقش دارد *et al.* 2000) تیمار سنبله های گندم با محلول DON (بدون تلقيق با قارچ) نیز کاهش عملکرد را که نتیجه فیتو توکسیک بودن این ترکیب است نشان

کاهش تجمع DON مورد استفاده قرار گرفته است، ژن *Tri101* از قارچ *Fusarium sporotrichioides* (Kimura *et al.* 1998) که محصول آن نوعی استیل ترانسفراز می باشد که تریکوتسن را به ترکیباتی با سمیت کمتر تبدیل می کند. از لحاظ توالی، بین ژن *Tri101* و سایر O- استیل ترانسفرازهای فوزاریومی شباهت چندانی وجود ندارد و این ژن از لحاظ اندازه و برخی از متیف های مجزاء، به استیل ترانسفرازهای گیاهی شبیه است (Kimura *et al.* 1998).

در مخمر ژن *Saccharomyces cerevisiae* ژن AYT1 شناسایی شده است (Alexander *et al.* 2002)، که محصول آن از لحاظ توالی و عملکرد شباهت بالایی به *TRI101* دارد و به نظر می رسد در حفاظت مخمر در برابر تریکوتسن ها نقش دارد (Alexander *et al.* 2002). در جدایه های مخمر *pdr5* که ژن آن *Saccharomyces cerevisiae* با چهش دار غیرفعال شده بود (این ژن یک پمپ سیتوپلاسمی است که با پمپ نمودن توکسین به فضای بین سلولی مقاومت مخمر در حضور توکسین را افزایش می دهد) بیان AYT1 توانسته است حساسیت به DON را سرکوب نماید (Abolmaali *et al.* 2008). به علاوه، گزارشاتی از افزایش تحمل به تریکوتسن ها در اثر بیان ژن *Tri101* در گیاه مدل توتون وجود دارد (Muhitch *et al.* 2000). در این مطالعه بیان ژن AYT1 در گیاه مدل توتون با استفاده PCR- از آنتی بادی *cMyc* که توالی آن با روش Tagging بررسی های ایمنولوژیک قرار گرفت. در فناوری اضافه کردن اپی توب با استفاده از روش DNA نوترکیب، اپی توب های پیتیدی کوچک به پروتئین های متعدد اضافه و توسط آنتی بادی ویژه آن اپی توب مورد مطالعه قرار می گیرند که با توجه به مزایای متعدد آن از جمله صرفه جویی چشمگیر در هزینه و زمان در مقایسه با روش های معمول تهیه

گیاهان تاریخت و شاهد در محیط فاقد توکسین تفاوت معنی‌داری نداشته است که تأثیر تنفس ناشی از کشت در محیط مایع را منتفی می‌کند و نشان می‌دهد که تفاوت رشد در محیط دارای توکسین در بین گیاهان تاریخت و شاهد ناشی از بیان ترازن در آن‌ها می‌باشد.

سپاسگزاری

امکانات انجام این پژوهش از بودجه تحقیقاتی دریافت شده از بنیاد بین‌المللی علوم^۱ و طرح ۲۵۹ پژوهشگاه ملی مهندسی ژنتیک و زیست‌فناوری تأمین شده است. همچنین از همکاری جناب دکتر کمال الدین حق‌بین و دکتر گرگانی در انجام کرومانتوگرافی لایه نازک تشکر و قدردانی می‌گردد.

1. International Fundation of Science (IFS)

REFERENCES

- Bai GH, Desjardins AE and Plattner RD (2002) Deoxynivalenol-nonproducing *Fusarium graminearum* causes initial infection but does not cause disease spread in wheat spikes. *Mycopathologia*. 153: 91–98.
- Chen L, McCormick SP, Hohn TM (2000) Altered Regulation of 15-Acetyldeoxynivalenol Production in *Fusarium graminearum*. *Appl Environ Microbiol*. 66(5): 2062–2065.
- Eudes F, Comeau A, Rioux S, Collin J (2000) Phytotoxicité de huit mycotoxines associées à la fusariose de l'épi chez le blé. *Can. J. Plant Pathol*. 22: 286–292.
- Kimura M, Kaneko I, Komiyama M, Takatsuki A, Koshino H, Yoneyama K, Yamaguchi I (1998) Trichothecene 3-O-acetyltransferase protects both the producing organism and transformed yeast from related mycotoxins. *J Biol Chem* 273: 1654–1661.
- Manoharan M, Dahleen LS, Hohn TM, Neate SM, Yu X, Alexander NJ, McCormick SP, Bregitzer P, Schwarz PB, Horsley RD (2006) Expression of 3-OH trichothecene acetyltransferase in barley (*Hordeum vulgare* L.) and effects on deoxynivalenol. *Plant Science*. 171: 699–706.
- Muhitch MJ, McCormick SP, Alexander NJ, Hohn TM (2000) Transgenic expression of the *TRI101* or *PDR5* gene increases resistance of tobacco to the phytotoxic effects of the trichothecene 4,15-diacetoxyscirpenol. *Plant Sci*. 157: 201 – 207.
- Ohsato Sh , Ochiai-Fukuda T, Nishiuchi T, Takahashi-Ando N, Koizumi Sh, Hamamoto H, Kudo T, Yamaguchi I, Kimura M (2007) Transgenic rice plants expressing trichothecene3-O-acetyltransferase show resistance to the *Fusarium* phytotoxin deoxynivalenol. *Plant Cell Rep*. 26: 531–538.
- داده است (Ittu *et al.* 1995). سایر تأثیرات فتوپیپیک تریکوتسن‌ها شامل کاهش تندش بذر، تاخیر رشد، کاهش وزن تر گیاه و تغییررنگ برخی بخش‌های گیاهان است (Bottalico *et al.* 1989). همچنین در ارزیابی‌های درون‌شیشه‌ای نیز تأثیراتی مانند جلوگیری از رشد کالوس، دانه‌رسانی و رشد ریشه مشاهده شده است (Snijder. 2004). با توجه به این موارد، شاخص‌هایی مانند رشد طولی گیاه و ریشه و مقدار بیومس تولیدشده در غلظت 10ppm DON برای گیاهان تاریخت با *AYT1-cMyC* مورد اندازه‌گیری قرار گرفت. همان‌طور که انتظار می‌رفت، قرارگرفتن در معرض DON در گیاهان غیرتاریخت (شاهد) سبب کاهش قابل توجه شاخص‌های رشد موردندازه‌گیری شد. اما در گیاهان تاریخت، میزان رشد تفاوت معنی‌داری با شرایط رشد در محیط فاقد توکسین نداشت. علاوه بر این، شاخص‌های رشد در

- Kimura M, Takahashi-Ando N, Nishiuchi T, Ohsato S, Tokai T, Ochiai N, Fujimura M, Kudo T, Hamamoto H, Yamaguchi I (2006) Molecular biology and biotechnology for reduction of *Fusarium* mycotoxin contamination. Pesticide Biochemistry and Physiology. 86: 117–123.
- Alexander NJ, McCormick SP, Hohn TM (2002) The identification of the *Saccharomyces cerevisiae* gene AYT1(ORF-YLL063c) encoding an acetyltransferase. Yeast (19): 1425–1430.
- Hoffman CS, Winston FA (1987) Ten-minute DNA preparation from yeast efficiently releases autonomous plasmid for transformation of *Escherichia coli*. Gene. 57(2-3): 267–72.
- Doyle JJ, Doyle JL (1987) A rapid DNA isolation procedure for small quantities of fresh leaf tissue. Phytochem. Bulletin. 19: 11 – 15.
- Bai GH, Shaner G (2004) Management and Resistance in Wheat and Barely to *Fusarium* Head Blight. Annul. Rev. Phytopathol. 42: 135 – 161.
- Abolmaali SH, Mitterbauer R, Adam G (2008) Engineered bakers yeast as a sensitive bioassay indicator organism for the trichothecene toxin deoxynivalenol. J Microbiol Methods. 72(3): 306 – 12.
- Ittu M, Hagima I, Moraru I, Raducanu F (1995) Reaction of some wheat and triticale genotypes to toxins, culture filtrates and cultures of *Fusarium*. In vivo screening and the relation between results obtained in vivo and in vitro. Theor. Appl. Genetics. 27: 1–13.
- Bottalico A, Logrieco A, Visconti A (1989) *Fusarium* species and their mycotoxins in infected corn in Italy. Mycopathologia. 107: 85 – 92.
- Snijder CHA (2004) Resistance in wheat to *Fusarium* infection and trichothecene formation. Toxicology Letters. 153: 37 – 46.